

01;03;05.3

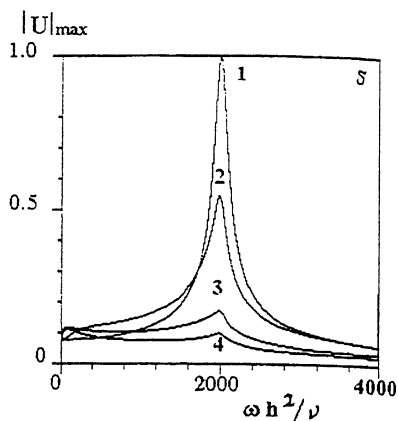
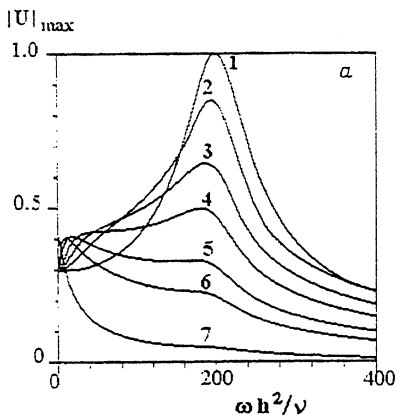
©1995

**ВЛИЯНИЕ СИЛЫ КОРИОЛИСА  
И ГАРМОНИЧЕСКИХ КОЛЕБАНИЙ  
ТЕМПЕРАТУРЫ  
НА КОНВЕКЦИЮ РАСПЛАВА  
ПРИ ВЫРАЩИВАНИИ КРИСТАЛЛОВ  
В ЦЕНТРИФУГЕ**

*А.М.Свешников, В.С.Юфеев*

В работах [1-3] было показано, что в условиях орбитального полета реакция жидкости на совместное действие силы Кориолиса и гармонической модуляции силы тяжести может иметь резонансный характер. В частности, если сила Кориолиса вызывается вращением спутника вокруг Земли, то при достаточно малых числах Экмана  $Ek = \Omega l^2 / \nu \leq 0.05$ , где  $\Omega$  — угловая скорость вращения,  $l$  — характерный размер области, занятой жидкостью, а  $\nu$  — кинематическая вязкость, максимум амплитуды конвективной скорости достигается на частоте модуляции, равной удвоенной угловой скорости вращения орбитальной станции. Вместе с тем указанное явление может возникать и в земных условиях, если вращение жидкости сопровождается разного рода вибрациями или временными вариациями каких-либо других параметров немеханической природы: температуры, концентрации и т. д. Например, при выращивании кристаллов из расплава в центрифуге благодаря достаточно высоким скоростям вращения ( $\sim 1 \text{ с}^{-1}$ ) числа Экмана оказываются весьма малыми, порядка 0.001 и, следовательно, создаются благоприятные условия для возникновения резонанса. Оценка величины резонансного эффекта при конвекции жидкости в центрифуге и является целью настоящей работы.

Как и в работах [2,3], рассмотрим двумерное течение жидкости в средней части плоской тонкой прямоугольной области (ампуле) высотой  $h$ . Пусть, как это обычно принято в экспериментах по росту кристаллов в центрифуге, ампула расположена таким образом, чтобы равнодействующая силы тяжести и центробежной силы была направлена вдоль ее оси. Выберем систему координат так, чтобы ось  $Ox$  была параллельна стенкам ампулы, а ось  $Oz$  перпендикулярна им. Положим далее, что температура нижней стенки ( $z = 0$ ) является постоянной и равной  $T_0$ , а температура верхней стенки ( $z = h$ ) изменяется во времени по



Зависимость максимума среднеквадратичной скорости конвекции от безразмерной частоты колебаний температуры стенки: *a* —  $Ek = 0.01$ . Кривые: 1 —  $Pr = 0$ ; 2 — 0.2; 3 — 0.35; 4 — 0.6; 5 — 1.2; 6 — 2; 7 — 10. *b* —  $Ek = 0.002$ . Кривые: 1 —  $Pr = 0$ ; 2 — 0.1; 3 — 0.5; 4 — 1.

гармоническому закону

$$T(h) = T_0 + T_1 \exp(j\omega t).$$

Тогда распределение температуры по высоте будет описываться температурной волной [4]

$$T = T_0 + T_1 \frac{\text{sh}(az)}{\text{sha}} \exp(j\omega t),$$

где

$$a = \frac{1+j}{2} \sqrt{\frac{\omega}{\nu} Pr},$$

$z$ ,  $\omega$  и  $\nu$  — безразмерные высота, частота и кинематическая вязкость, а  $Pr$  — число Прандтля.

В результате для вычисления амплитуд конвективной скорости  $u_x$  и  $u_y$  получим задачу, аналогичную рассмотренной в [2]:

$$j\omega u_x = \nu u_x'' - c_x + 2\Omega_z u_y - \frac{\text{sh}(az)}{\text{sha}}, \quad (1)$$

$$j\omega u_y = \nu u_y'' - c_y - 2\Omega_z u_x, \quad (2)$$

$$\text{при } z = 0; 1 \quad u_x = u_y = 0.$$

В уравнениях (1)–(2) постоянные  $c_x$ ,  $c_y$  есть компоненты градиента давления, которые определяются из условия равенства нулю расхода жидкости вдоль осей  $OX$  и  $OY$ .

Необходимо подчеркнуть, что в данной постановке задачи только  $z$  компонента вектора угловой скорости вращения центрифуги оказывает влияние на движение расплава. Отметим также, что при  $a \rightarrow 0$  распределение температуры поперек области становится линейным и задача сводится к задаче, рассмотренной в [3]. С другой стороны, при  $a \rightarrow \infty$  глубина проникновения возмущения поля температуры в слой жидкости стремится к нулю (скин-эффект) соответственно будет стремиться к нулю и скорость конвекции.

Решение уравнений (1)–(2) легко может быть получено в аналитическом виде, как это было сделано в [1–3]. Результаты расчета максимума среднеквадратической конвективной скорости (осредненной за период) показаны на рис. 1, а, б. Как и следовало ожидать, при малых числах Прандтля  $R_T$  на частоте, равной удвоенной частоте вращения, возникает такой же резонансный пик, как и в работах [1–2]. С увеличением числа Прандтля высота пика уменьшается, что объясняется ростом значения  $a$  и уменьшением толщины температурного скин-слоя, и при  $R_T > 1$  пик практически исчезает. При этом, что явилось весьма неожиданным, максимум конвективной скорости, хотя и переместился в область низких частот, но оказался на частоте, отличной от нуля. Как показал анализ решения, указанная частота пропорциональна  $Ek^{-1/2}/R_T$ , а высота пика  $\sim Ek/2$ .

Таким образом, сила Кориолиса из всего спектра температурных возмущений выделяет возмущения определенной частоты, в то время как действие возмущений других частот подавляется гораздо более интенсивно. Указанный эффект проявляется тем сильнее, чем меньше число Прандтля.

### Список литературы

- [1] Юферев В.С. // Письма в ЖТФ. 1994. Т. 20. В. 3. С. 18–21.
- [2] Юферев В.С., Колесникова Э.И. // Письма в ЖТФ. 1995. Т. 21. В. 5. С. 31–34.
- [3] Юферев В.С., Колесникова Э.И. // Письма в ЖТФ. 1995. Т. 21. В. 13. С. 23–29.
- [4] Лыков А.В. Теория теплопроводности. М., 1952. С. 243.

Физико-технический институт  
им. А.Ф.Иоффе  
С.-Петербург

Поступило в Редакцию  
25 октября 1995 г.